

桃叶珊瑚苷通过活化 miR - 1294/YWHAZ 信号通路抑制宫颈癌细胞的增殖和迁移

尹恒 罗全慧 殷浩 刘毅力 赵琳

摘要 目的 研究桃叶珊瑚苷调控 miR - 1294/酪氨酸 3 单加氧酶 - 色氨酸 5 单加氧酶激活蛋白 ζ (tyrosine 3 - monooxygenase/tryptophan 5 - monooxygenase activation protein zeta, YWHAZ) 分子轴对宫颈癌 C - 33A 细胞增殖和迁移的影响。**方法** 采用 DMEM 细胞培养基配制桃叶珊瑚苷培养液, 分别采用 0、20、40、60、80、100 $\mu\text{mol}/\text{L}$ 桃叶珊瑚苷处理宫颈癌 C - 33A 细胞, 噻唑蓝 (methylthiazolyldiphenyl - tetrazolium bromide, MTT) 实验分析 C - 33A 细胞的增殖情况。将 C - 33A 细胞分为对照组 (0 $\mu\text{mol}/\text{L}$ 桃叶珊瑚苷处理) 和桃叶珊瑚苷组 (80 $\mu\text{mol}/\text{L}$ 桃叶珊瑚苷处理), 以细胞划痕实验检测 C - 33A 细胞的迁移情况。实时荧光定量聚合酶链反应 (real - time quantitative fluorescence polymerase chain reaction, qRT - PCR) 检测两组 C - 33A 细胞中 miR - 1294 的表达。采用 MicroRNAdb 数据库和双荧光素酶基因报告实验分析和验证 miR - 1294 与 YWHAZ 之间的调控关系。qRT - PCR 和 Western blot 法分别检测 YWHAZ 基因和 Akt 信号通路蛋白 p - Akt、p - PRAS40、mTORC1、SGK1 的表达。**结果** 0、20、40、60、80、100 $\mu\text{mol}/\text{L}$ 桃叶珊瑚苷处理后宫颈癌 C - 33A 细胞增殖活性 (A) 值分别为 1.02 ± 0.17 、 0.75 ± 0.06 、 0.61 ± 0.10 、 0.41 ± 0.05 、 0.17 ± 0.09 、 0.47 ± 0.12 , 桃叶珊瑚苷能够明显抑制 C - 33A 细胞的增殖活力 ($F = 28.90, P < 0.05$)。对照组和桃叶珊瑚苷组 C - 33A 细胞划痕愈合率分别为 $59.28\% \pm 9.93\%$ 和 $25.75\% \pm 9.29\%$, 差异有统计学意义 ($t = 4.93, P < 0.05$)。对照组和桃叶珊瑚苷组 miR - 1294 的表达分别为 1.01 ± 0.62 和 10.14 ± 2.02 , 差异有统计学意义 ($t = 8.65, P < 0.01$)。miR - 1294 可靶向结合 YWHAZ ($t = 8.76, P < 0.01$)。对照组和桃叶珊瑚苷组 C - 33A 细胞中 YWHAZ mRNA 表达分别为 4.74 ± 1.22 和 1.01 ± 0.22 , miR - 1294 可负调控 YWHAZ 基因表达 ($t = 6.00, P < 0.01$)。与对照组比较, 桃叶珊瑚苷组 YWHAZ 蛋白和 Akt 信号通路蛋白 p - Akt、p - PRAS40、mTORC1、SGK1 表达明显降低。**结论** 桃叶珊瑚苷通过调控 miR - 1294/YWHAZ 分子轴抑制宫颈癌 C - 33A 细胞的增殖和迁移。

关键词 宫颈癌 桃叶珊瑚苷 miR - 1294 细胞增殖 细胞迁移

中图分类号 R737.33 **文献标识码** A **DOI** 10.11969/j.issn.1673-548X.2023.04.014

Aucubin Inhibits the Proliferation and Migration of Cervical Cancer Cells by Activating miR - 1294/YWHAZ Signaling Pathway. YIN Heng, LUO Quanhui, YIN Hao, et al. *Obstetrics and Gynecology Center, Taihe Hospital Affiliated to Hubei Medical College, Hubei 442000, China*

Abstract Objective To study the effect of aucubin on the proliferation and migration of cervical cancer C - 33A cells by regulating the miR - 1294/tyrosine 3 - monooxygenase/tryptophan 5 - monooxygenase activation protein zeta (YWHAZ) molecular axis. **Methods** DMEM cell culture medium was used to prepare the aucubin culture medium. Cervical cancer C - 33A cells were treated with 0, 20, 40, 60, 80, 100 $\mu\text{mol}/\text{L}$ aucubin, respectively, and the proliferation of C - 33A cells was analyzed by methylthiazolyldiphenyl - tetrazolium bromide (MTT) experiment. The C - 33A cells were divided into control group (0 $\mu\text{mol}/\text{L}$ aucubin treatment) and aucubin group (80 $\mu\text{mol}/\text{L}$ aucubin treatment). The migration of C - 33A cells was detected by cell scratch assay. The expression of miR - 1294 in the two groups of C - 33A cells was detected by real - time quantitative fluorescence polymerase chain reaction (qRT - PCR). The regulatory relationship between miR - 1294 and YWHAZ was analyzed and verified using the MicroRNAdb database and dual - luciferase gene reporter experiments. The expressions of YWHAZ gene and Akt signaling pathway proteins (p - Akt, p - PRAS40, mTORC1, SGK1) were detected by qRT - PCR and Western blot, respectively. **Results** The proliferative activity (A) values of cervical cancer C - 33A cells treated with 0, 20, 40, 60, 80 and 100 $\mu\text{mol}/\text{L}$ aucubin were 1.02 ± 0.17 , 0.75 ± 0.06 , 0.61 ± 0.10 , 0.41 ± 0.05 , 0.17 ± 0.09 , 0.47 ± 0.12 , aucubin can significantly inhibit the proliferation of C - 33A cells ($F = 28.90, P < 0.05$). The scratch healing rates of C -

基金项目:湖北省科技计划项目(2021CFB162)

作者单位:442000 十堰,湖北医药学院附属太和医院妇产中心

通信作者:赵琳,电子信箱:yinheng0603@163.com

C - 33A cells in the control group and the aucubin group were $59.28\% \pm 9.93\%$ and $25.75\% \pm 9.29\%$, respectively, and the difference was statistically significant ($t = 4.93$, $P < 0.05$). The expression of miR - 1294 in the control group and the aucubin group was 1.01 ± 0.62 and 10.14 ± 2.02 , respectively, and the difference was statistically significant ($t = 8.65$, $P < 0.01$). miR - 1294 could be targeted to YWHAZ ($t = 8.76$, $P < 0.01$). The expression of YWHAZ mRNA in C - 33A cells in the control group and the aucubin group was 4.74 ± 1.22 and 1.01 ± 0.22 , respectively, and miR - 1294 could negatively regulate the expression of YWHAZ gene ($t = 6.00$, $P < 0.01$). Compared with the control group, the expressions of YWHAZ protein and Akt signaling pathway proteins (p - Akt, p - PRAS40, mTORC1, SGK1) in the aucubin group were significantly decreased. **Conclusion** Aucubin inhibits the proliferation and migration of cervical cancer C - 33A cells by regulating the miR - 1294/YWHAZ molecular axis.

Key words Cervical cancer; Aucubin; MiR - 1294; Cell proliferation; Cell migration

宫颈癌起源于宫颈上皮,是女性最常见的泌尿生殖道恶性肿瘤之一^[1]。宫颈癌发病机制尚不明确,与乳头瘤病毒感染、吸烟、炎症等关系密切^[2, 3]。早期宫颈癌患者的临床症状不明显,中晚期宫颈癌患者的治疗效果较差,预后不良^[4, 5]。细胞增殖和迁移在宫颈癌的发生和进展中发挥重要作用^[6~8]。桃叶珊瑚苷提取自车前草、玄参、地黄等传统中药材,是一种环烯醚萜苷化合物^[9]。桃叶珊瑚苷在细胞氧化、增殖、凋亡、转移等过程中发挥调节作用,具有抗炎、抗肿瘤的功效^[10]。桃叶珊瑚苷对宫颈癌细胞恶性生物学行为的影响尚未明确。本研究旨在探讨桃叶珊瑚苷对宫颈癌细胞增殖和迁移的影响,结合双荧光素酶报告基因实验探究桃叶珊瑚苷可能的作用机制。

材料与方法

1. 细胞、药品和试剂:宫颈癌 C - 33A 细胞系购自中国科学院细胞库(上海)。桃叶珊瑚苷购自美国 MedChemExpress 公司(分析纯、批号:N20151634)。DMEM 培养基购自美国 Gibco 公司。胎牛血清购自浙江天杭生物科技股份有限公司。双荧光素酶报告基因检测试剂盒、荧光素酶报告野生型载体 WT - 酪氨酸 3 单加氧酶 - 色氨酸 5 单加氧酶激活蛋白 ζ (tyrosine 3 - monooxygenase/tryptophan 5 - monooxygenase activation protein zeta, YWHAZ) 和突变型载体 MUT - YWHAZ 购自美国 Promega 公司。miR - 1294 序列、无意序列(miR - NC)购自上海吉玛制药技术有限公司。二代测序由广州锐博生物科技有限公司完成。噻唑蓝(methylthiazolyldiphenyl - tetrazolium bromide, MTT)试剂盒购自南京博恩生物技术有限公司。qRT - PCR 试剂盒购自美国 Thermo 公司。一抗 β - actin、YWHAZ、p - Akt、p - PRAS40、mTORC1、SGK1 抗体均购自英国 Abcam 公司。

2. 细胞培养和处理:宫颈癌 C - 33A 细胞培养在含有 10% 胎牛血清的 DMEM 培养基,培养参数为 37°C、5% 浓度 CO₂。C - 33A 细胞生长至对数期,分

别采用 0、20、40、60、80、100 $\mu\text{mol}/\text{L}$ 桃叶珊瑚苷处理。经 0 $\mu\text{mol}/\text{L}$ 桃叶珊瑚苷处理的 C - 33A 细胞为对照组,经 80 $\mu\text{mol}/\text{L}$ 桃叶珊瑚苷处理的 C - 33A 细胞为桃叶珊瑚苷组,48h 后收集各组细胞进行二代测序检测 miRNA 表达差异。

3. MTT 法检测 C - 33A 细胞增殖活性:将不同浓度桃叶珊瑚苷处理的 C - 33A 细胞按照 2.5×10^4 个/毫升接种于 96 孔细胞板,每孔 200 μl ,培养 36h,在每个孔中加入 10% 质量浓度的 MTT 试剂 15 μl ,培养箱中反应 5h。真空吸去上清液,每孔添加 130 μl 二甲基亚砜试剂,震荡 30min,采用全自动酶标仪检测每孔 C - 33A 细胞在 490nm 波长处的吸光度(A)值。

4. 细胞划痕实验检测 C - 33A 细胞迁移情况:将对照组和桃叶珊瑚苷组 C - 33A 细胞悬液按照 2.5×10^5 个/毫升接种于 24 孔板,每孔 3ml。细胞贴壁后,经 10 μl 移液器吸头在孔底直线划痕,10 倍光学显微镜观察并分析划痕宽度 C1。在培养箱内孵育 24h,继续用光学显微镜观察并分析划痕宽度 C2。对照组和桃叶珊瑚苷组 C - 33A 细胞划痕愈合率(%) = (C1 - C2)/C1 × 100%。

5. qRT - PCR 检测 miR - 1294 和 YWHAZ mRNA 表达:Trizol 法提取 C - 33A 细胞总 RNA,琼脂糖凝胶分析 RNA 的纯度和浓度。采用反转录试剂盒将 RNA 反转录为 cDNA。qRT - PCR 扩增程序设置为 97°C 预变性 10min,97°C 15s,60°C 退火 40s,70°C 延伸 40s,41 次循环。引物如下:miR - 1294 上游引物:5' - CTCACGAGAGAGGAAGGCA - 3', 下游引物:5' - ACCTCAAGAACAGTATTCCAGG - 3'; β - actin 上游引物:5' - CACCATTGGCAATGAGCGGTT - 3', 下游引物:5' - AGGTCTTGCGGATGTCCACGT - 3'; YWHAZ 上游引物:5' - CCTGCATGAAGTCTGTAAGT - GAG - 3', 下游引物:5' - GACCTACGGGCTCCTA - CAACA - 3'; U6 上游引物:5' - TCGGGGTGCTCGCT - TCGGCAGC - 3', 下游引物:5' - GTGCAGGGTC -

CGAGGT - 3'。miR - 1294 表达变化以 U6 为内参, YWHAZ mRNA 表达变化以 β - actin 为内参。

6. 靶基因预测和鉴定:通过 MicroRNAdb 数据库预测 miR - 1294 具有互补结合位点的基因是 YWHAZ。分别将 WT - YWHAZ、MUT - YWHAZ 与 miR - 1294、miR - NC 共转染至 C - 33A 细胞,培养箱孵育 48h。裂解细胞,采用双荧光素酶报告基因试剂盒分别检测 C - 33A 细胞的萤火虫荧光素酶活性以及海肾荧光素酶活性,相对荧光素酶活性为二者的比值。

7. Western blot 法检测 YWHAZ 和 Akt 信号通路蛋白表达:细胞裂解液裂解 C - 33A 细胞,13000r/min 离心 40min,取上清加入蛋白缓冲液。经 15% 十二烷基苯磺酸钠 - 聚丙烯酰胺凝胶电泳分离和硝酸纤维素膜转膜后,通过 30g/L 的脱脂牛奶封闭,分别添加一抗 YWHAZ(1:4000 稀释)、p - Akt(1:1000 稀释)、p - PRAS40(1:1000 稀释)、 β - actin(1:4000 稀释)、mTORC1(1:2000 稀释)、SGK1(1:2000 稀释),4℃ 摆床孵育 10h。TBST 溶液洗膜,添加二抗山羊抗鼠,室温摇床孵育 2.5h。加入 ECL 发光显影液,在 Bio - Rad 成像仪中曝光、显影。

8. 统计学方法:应用 SPSS 23.0 统计学软件对数据进行统计分析,计量数据以均数 \pm 标准差($\bar{x} \pm s$)表示,多组间数据比较采用单因素方差分析,两组间数据比较采用 *t* 检验,以 $P < 0.05$ 为差异有统计学意义。

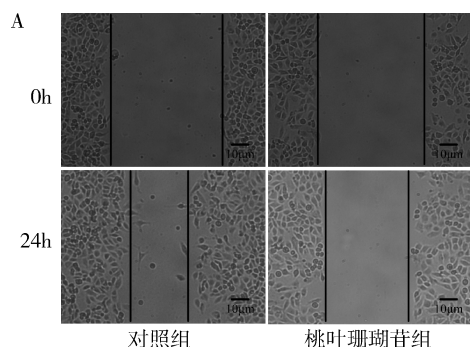


图 2 桃叶珊瑚苷对 C - 33A 细胞迁移能力的影响

A. C - 33A 细胞划痕愈合图($\times 10$);B. C - 33A 细胞划痕愈合率统计分析

3. 桃叶珊瑚苷对 C - 33A 细胞 miR - 1294 表达的影响:二代测序结果显示,对照组和桃叶珊瑚苷组 C - 33A 细胞中 miR - 1294 的表达差异最明显($P < 0.01$)。qRT - PCR 结果显示,对照组和桃叶珊瑚苷组 C - 33A 细胞中 miR - 1294 的表达分别为 $1.01 \pm$

结 果

1. 桃叶珊瑚苷对 C - 33A 细胞增殖活性的影响:MTT 结果显示,0、20、40、60、80、100 $\mu\text{mol}/\text{L}$ 桃叶珊瑚苷处理后宫颈癌 C - 33A 细胞 *A* 值分别为 1.02 ± 0.17 、 0.75 ± 0.06 、 0.61 ± 0.10 、 0.41 ± 0.05 、 0.17 ± 0.09 、 0.47 ± 0.12 ,与 $0 \mu\text{mol}/\text{L}$ 比较,不同浓度的桃叶珊瑚苷处理后的 C - 33A 细胞增殖活性明显降低($F = 28.90$, $P < 0.05$, 图 1),选择对 C - 33A 细胞增殖活性抑制作用最明显的 $80 \mu\text{mol}/\text{L}$ 桃叶珊瑚苷做后续实验。

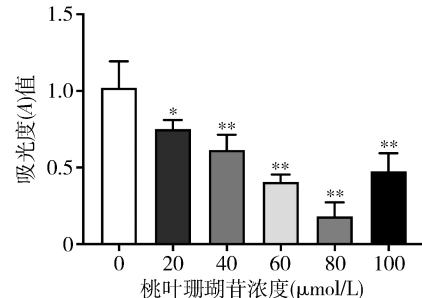
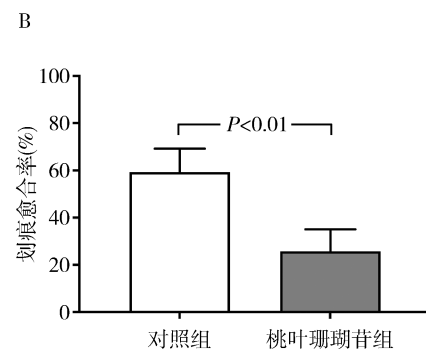


图 1 桃叶珊瑚苷对 C - 33A 细胞增殖活性的影响

与 $0 \mu\text{mol}/\text{L}$ 比较, * $P < 0.05$, ** $P < 0.01$

2. 桃叶珊瑚苷对 C - 33A 细胞迁移能力的影响:细胞划痕实验结果显示,对照组和桃叶珊瑚苷组 C - 33A 细胞的划痕愈合率分别为 $59.28\% \pm 9.93\%$ 和 $25.75\% \pm 9.29\%$,差异有统计学意义($t = 4.93$, $P < 0.01$, 图 2),表明桃叶珊瑚苷可抑制 C - 33A 细胞的迁移能力。



B. C - 33A 细胞划痕愈合率统计分析

0.62 和 10.14 ± 2.02 ,差异有统计学意义($t = 8.65$, $P < 0.01$)。

4. 生物信息学预测 miR - 1294 的靶基因:采用 MicroRNAdb 数据库预测 miR - 1294 具有互补结合位点的基因是 YWHAZ, YWHAZ mRNA 野生型位点和

突变型位点详见图 3。



图 3 miR - 1294 与 YWHAZ mRNA 的互补结合位点

5. 双荧光素酶报告基因实验验证 miR - 1294 靶向结合 YWHAZ mRNA: 双荧光素酶报告基因实验结果显示, WT - YWHAZ + miR - NC 和 WT - YWHAZ + miR - 1294 相对荧光素酶活性分别为 0.99 ± 0.16 和 0.20 ± 0.08 , 差异有统计学意义 ($t = 8.76, P < 0.01$); MUT - YWHAZ + miR - NC 和 MUT - YWHAZ + miR - 1294 相对荧光素酶活性分别为 0.98 ± 0.11 和 1.01 ± 0.24 , 差异无统计学意义 ($t = 0.17, P > 0.05$, 图 4)。

6. 桃叶珊瑚苷对 YWHAZ mRNA 表达的影响: qRT - PCR 结果显示, 对照组和桃叶珊瑚苷组 C - 33A 细胞中 YWHAZ mRNA 表达分别为 4.74 ± 1.22

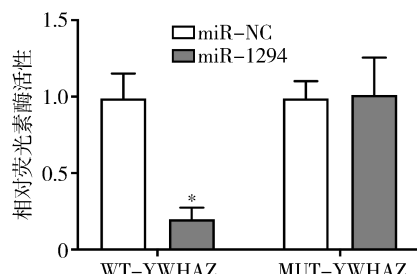


图 4 双荧光素酶报告基因实验验证 miR - 1294 与 YWHAZ mRNA 的结合
与 miR - NC 比较, * $P < 0.01$

和 1.01 ± 0.22 , 差异有统计学意义 ($t = 6.00, P < 0.01$)。

7. 桃叶珊瑚苷对 YWHAZ 和 Akt 信号通路蛋白表达的影响: Western blot 法结果显示, 桃叶珊瑚苷处理 C - 33A 细胞后, YWHAZ 蛋白表达明显下降, Akt 信号通路蛋白 p - Akt、p - PRAS40、mTORC1、SGK1 表达明显下降(图 5)。

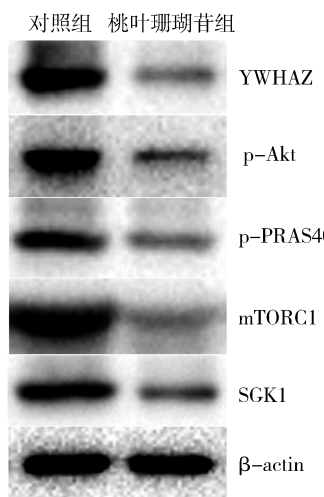
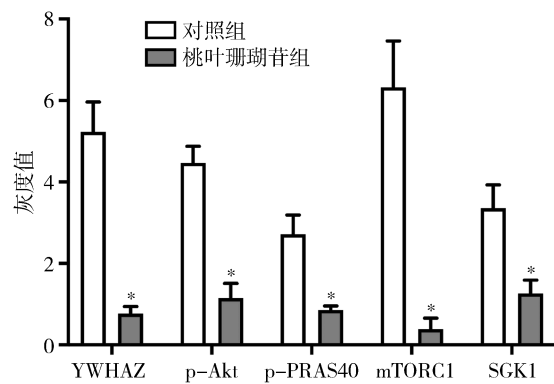


图 5 桃叶珊瑚苷对 C - 33A 细胞 YWHAZ 蛋白和 Akt 信号通路蛋白表达的影响
与对照组比较, * $P < 0.01$



讨 论

传统中药提取物已成为抗肿瘤药物研发的重要途径之一, 越来越多的中药及其活性成分被发现能够抑制宫颈癌的发生和发展^[11~13]。Yao 等^[14]研究表明, 黄豆苷对宫颈癌细胞能够产生毒性作用, 具有对宫颈癌细胞黏附的抑制特性, 同时能够通过调控宫颈癌细胞线粒体膜的通透性, 诱导宫颈癌细胞的凋亡。Xue 等^[15]研究表明, 不同浓度的柴胡舒肝散对宫颈癌 HeLa 细胞系均具有明显的抗肿瘤作用, 抑制宫颈癌 HeLa 细胞的生长和转移。Lin 等^[16]研究表明, 柚

皮苷能够诱导宫颈癌 C - 33A、SiHa 和 HeLa 细胞的凋亡, 触发细胞周期停滞, 发挥明显的抗增殖作用。桃叶珊瑚苷是多种中草药如杜仲等的关键活性成分, 能够减少活性氧的形成, 具有显著的抗癌、抗炎作用^[17]。本研究结果显示, 宫颈癌 C - 33A 细胞给予桃叶珊瑚苷处理后, C - 33A 细胞的增殖活性和迁移能力显著下降, 提示桃叶珊瑚苷能够抑制宫颈癌细胞的恶性生物学行为。

微小 RNA (miRNA) 是一种长度约为 22 个核苷酸的低分子 RNA, 不具有编码蛋白的潜力, 在转录水

平发挥表观遗传调节作用,对靶基因的表达产生显著的负调节作用,其表达改变是中药活性成分发挥抗癌的关键调节机制^[18,19]。miR - 1294 在肝癌、非小细胞肺癌、肾透明细胞癌等恶性肿瘤中低表达,恢复 miR - 1294 表达能够显著抑制恶性肿瘤的进展^[20,21]。Chen 等^[22]研究显示,miR - 1294 在宫颈癌组织和细胞系表达明显降低,过表达 miR - 1294 可抑制宫颈癌细胞的增殖、迁移、侵袭和糖酵解。本研究显示,宫颈癌 C - 33A 细胞给予桃叶珊瑚苷处理后,miR - 1294 表达明显增加,提示桃叶珊瑚苷通过调控 miR - 1294 表达发挥抗癌作用。

本研究进一步通过 MicroRNADB 数据库预测 miR - 1294 与 YWHAZ 具有互补结合位点。双荧光素酶报告基因实验显示,miR - 1294 能显著降低野生型载体 WT - YWHAZ 的相对荧光素酶活性,而对突变型载体 MUT - YWHAZ 的相对荧光素酶活性没有明显作用,证实 YWHAZ 能够靶向结合 miR - 1294。YWHAZ 在哺乳动物细胞中是一种高度保守的基因,其编码的蛋白通过结合含磷酸丝氨酸的蛋白,参与调控多种分子信号通路的活化和抑制。研究显示,YWHAZ 基因在宫颈癌组织中高表达,是一种癌基因,其可显著促进宫颈癌的发生和发展^[22]。

本研究结果显示,宫颈癌 C - 33A 细胞给予桃叶珊瑚苷处理后,C - 33A 细胞中 YWHAZ 基因表达显著减少,进一步证明 YWHAZ 是 miR - 1294 的靶基因。YWHAZ 蛋白主要通过激活 Akt 信号通路发挥促癌作用,而 Akt 信号通路在促进宫颈癌细胞增殖和迁移方面发挥关键作用^[23~25]。本研究结果显示,桃叶珊瑚苷处理 C - 33A 细胞后,Akt 信号通路蛋白 Akt 信号通路蛋白 p - Akt、p - PRAS40、mTORC1、SGK1 表达明显下降,间接证明桃叶珊瑚苷在宫颈癌细胞中通过调节 miR - 1294/YWHAZ 表达发挥抑癌作用。

综上所述,本研究探究了桃叶珊瑚苷通过活化 miR - 1294,抑制 YWHAZ 基因表达和 Akt 信号通路转导,进而降低宫颈癌 C - 33A 细胞的增殖和迁移能力。本研究丰富了桃叶珊瑚苷的抗癌作用机制,为其临床应用提供了一定的实验基础。

参考文献

- Huang J, Deng Y, Boakye D, et al. Global distribution, risk factors, and recent trends for cervical cancer: a worldwide country - level analysis [J]. Gynecol Oncol, 2022, 164(1): 85 - 92
- Parsaeian SF, Asadian F, Karimi - Zarchi M, et al. A Meta - analysis for association of XRCC3 rs861539, MTHFR rs1801133, IL - 6 rs1800795, IL - 12B rs3212227, TNF - α rs1800629, and TLR9 rs352140 polymorphisms with susceptibility to cervical carcinoma [J]. Asian Pac J Cancer Prev, 2021, 22(11): 3419 - 3431
- Bian S, Liu M, Yang S, et al. 20(S) - Ginsenoside Rh2 - induced apoptosis and protective autophagy in cervical cancer cells by inhibiting AMPK/mTOR pathway [J]. Biosci Biotechnol Biochem, 2021, 86(1): 92 - 103
- Che Y, Li J, Li Z, et al. Osthole enhances antitumor activity and irradiation sensitivity of cervical cancer cells by suppressing ATM/NF - κB signaling [J]. Oncol Rep, 2018, 40(2): 737 - 747
- Sun X, Shu Y, Ye G, et al. Histone deacetylase inhibitors inhibit cervical cancer growth through Parkin acetylation - mediated mitophagy [J]. Acta Pharm Sin B, 2022, 12(2): 838 - 852
- Chandimali N, Sun HN, Park YH, et al. BRM270 suppresses cervical cancer stem cell characteristics and progression by inhibiting SOX2 [J]. In Vivo, 2020, 34(3): 1085 - 1094
- Li Z, Liu X, Yu H, et al. USP21 regulates Hippo signaling to promote radioresistance by deubiquitinating FOXM1 in cervical cancer [J]. Hum Cell, 2022, 35(1): 333 - 347
- Ahmed S, Khan H, Fakhri S, et al. Therapeutic potential of marine peptides in cervical and ovarian cancers [J]. Mol Cell Biochem, 2022, 477(2): 605 - 619
- Wang X, Xie Z, Lou Z, et al. Regulation of the PTEN/PI₃K/Akt pathway in RCC using the active compounds of natural products in vitro [J]. Mol Med Rep, 2021, 24(5): 766
- Li YC, Hao JC, Shang B, et al. Neuroprotective effects of aucubin on hydrogen peroxide - induced toxicity in human neuroblastoma SH - SY5Y cells via the Nrf2/HO - 1 pathway [J]. Phytomedicine, 2021, 87: 153577
- Lin CJ, Liu ST, Yang RC, et al. Anticancer effects of taraxacum via cell cycle arrest, necrosis, apoptosis, and endoplasmic reticulum stress [J]. Am J Chin Med, 2022, 50(2): 569 - 587
- Zuo HJ, Liu S, Yan C, et al. In vitro and in vivo evaluation of antitumor activity of ligustrum robustum, a Chinese herbal tea [J]. Chin J Integr Med, 2019, 25(6): 425 - 430
- Jin H, Song C, Zhao Z, et al. Ganoderma lucidum polysaccharide, an extract from ganoderma lucidum, exerts suppressive effect on cervical cancer cell malignancy through mitigating epithelial - mesenchymal and JAK/STAT5 signaling pathway [J]. Pharmacology, 2020, 105(7 - 8): 461 - 470
- Yao Z, Xu X, Huang Y. Daidzin inhibits growth and induces apoptosis through the JAK2/STAT3 in human cervical cancer HeLa cells [J]. Saudi J Biol Sci, 2021, 28(12): 7077 - 7081
- Xue JF, Zhu L, Jiao Y, et al. The effect of Chaihu - shugan - san on cytotoxicity induction and PDGF gene expression in cervical cancer cell line HeLa in the presence of paclitaxel + cisplatin [J]. Cell Mol Biol (Noisy le grand), 2021, 67(3): 143 - 147
- Lin R, Hu X, Chen S, et al. Naringin induces endoplasmic reticulum stress - mediated apoptosis, inhibits β - catenin pathway and arrests cell cycle in cervical cancer cells [J]. Acta Biochim Pol, 2020, 67(1): 57 - 64

- (2) : 181 – 188
- 17 梅凡, 姚峰, 朱磊, 等. 桃叶珊瑚苷对肺癌细胞增殖、侵袭的抑制作用及对 TGF - β1/SOX7 通路的影响 [J]. 湖北中医药大学学报, 2021, 23(4) : 10 – 14
- 18 Shao S, Li S, Liu C, et al. Toosendanin induces apoptosis of MKN? 45 human gastric cancer cells partly through miR23a3p mediated downregulation of BCL2 [J]. Mol Med Rep, 2020, 22(3) : 1793 – 1802
- 19 黄建棋, 郭文利, 范伟民, 等. miR - 4715 - 5p 通过靶向 MUC1 基因对乳腺癌细胞迁移和增殖的影响 [J]. 医学研究杂志, 2021, 50(1) : 47 – 52
- 20 Yu MC, Ding GY, Ma P, et al. CircRNA UBAP2 serves as a sponge of miR - 1294 to increase tumorigenesis in hepatocellular carcinoma through regulating c - Myc expression [J]. Carcinogenesis, 2021, 42(10) : 1293 – 1303
- 21 Li C, Wang G, Ma X, et al. Upregulation of exosomal circPLK1 promotes the development of non - small cell lung cancer through the miR - 1294/ high mobility group protein A1 axis [J]. Bioengi-
- neered, 2022, 13(2) : 4185 – 4200
- 22 Chen R, Liang F, Yan J, et al. CiroCDK17 knockdown inhibits tumor progression and cell glycolysis by downregulaing YWHAZ expression through sponging miR - 1294 in cervical cancer [J]. J Ovarian Res, 2022, 15(1) : 24
- 23 Xie J, Guo T, Zhong Z, et al. ITGB1drives hepatocellular carcinoma progression by modulating cell cycle process through PXN/YWHAZ/ Akt pathways [J]. Front Cell Dev Biol, 2021, 9 : 711149
- 24 Che Y, Li Y, Zheng F, et al. TRIP4 promotes tumor growth and metastasis and regulates radiosensitivity of cervical cancer by activating MAPK, PI₃K/Akt, and hTERT signaling [J]. Cancer Lett, 2019, 452 : 1 – 13
- 25 Wang W, Guo X, Dan H. α2A – adrenergic receptor inhibits the progression of cervical cancer through blocking PI₃K/Akt/mTOR pathway [J]. Onco Targets Ther, 2020, 13 : 10535 – 10546

(收稿日期: 2022 - 04 - 09)

(修回日期: 2022 - 06 - 08)

(接第 63 页)

- 2 Ochi H, Fujihara K. Demyelinating diseases in Asia [J]. Curr Opin Neurol, 2016, 29(3) : 222 – 228
- 3 Kessler RA, Mealy MA, Levy M. Treatment of neuromyelitis optica spectrum disorder: acute, preventive, and symptomatic [J]. Curr Treat Options Neurol, 2016, 18(2) : 2 – 15
- 4 Wingerchuk DM, Banwell B, Bennett JL, et al. International consensus diagnostic criteria for neuromyelitis optica spectrum disorders [J]. Neurology, 2015, 85(2) : 177 – 189
- 5 Shimizu Y, Fujihara K, Ohashi T, et al. Pregnancy - related relapse risk factors in women with anti - AQP4 antibody positivity and neuromyelitis optica spectrum disorder [J]. Mult Scler, 2016, 22(11) : 1413 – 1420
- 6 Oh J, Levy M. Neuromyelitis optica: an antibody - mediated disorder of the central nervous system [J]. Neurol Res Int, 2012, 2012 : 1 – 13
- 7 Akaishi T, Nakashima I, Takahashi T, et al. Neuromyelitis optica spectrum disorders with unevenly clustered attack occurrence [J]. Neurol Neuroimmunol Neuroinflamm, 2019, 7(1) : 1 – 9
- 8 Pittock SJ, Lucchinetti CF. Neuromyelitis optica and the evolving spectrum of autoimmune aquaporin - 4 channelopathies: a decade later [J]. Ann N Y Acad Sci, 2016, 1366(1) : 20 – 39
- 9 Trebst C, Jarius S, Berthele A, et al. Update on the diagnosis and treatment of neuromyelitis optica: recommendations of the neuromyelitis optica study group (NEMOS) [J]. J Neurol, 2014, 261(1) : 1 – 16
- 10 刘瑞华, 李艳, 杜艳姣, 等. 不同自身抗体视神经脊髓炎谱系疾病的临床特点 [J]. 中国神经免疫学和神经病学杂志, 2020, 27(4) : 266 – 269
- 11 Pereira WLCJ, Reiche EMV, Kallaur AP, et al. Frequency of autoimmune disorders and autoantibodies in patients with neuromyelitis optica [J]. Acta Neuropathol, 2017, 29(3) : 170 – 178
- 12 贾红娟, 叶静, 赵义, 等. 抗核抗体谱阳性的视神经脊髓炎患者的临床和磁共振特征分析 [J]. 中华医学杂志, 2012, 92(43) : 3042 – 3045
- 13 Chang VTW, Chang HM. Review: recent advances in the understanding of the pathophysiology of neuromyelitis optica spectrum disorder [J]. Neuropathol Appl Neurobiol, 2020, 46(3) : 199 – 218
- 14 Wu Y, Zhong L, Geng J. Neuromyelitis optica spectrum disorder: pathogenesis, treatment, and experimental models [J]. Mult Scler Relat Disord, 2019, 27 : 412 – 418
- 15 汤超, 张刚, 秦新月. 视神经脊髓炎谱系疾病的临床特点及复发影响因素 [J]. 实用医学杂志, 2017, 33(6) : 963 – 966
- 16 Orman G, Wang KY, Pekcevik Y, et al. Enhancing brain lesions during acute optic neuritis and/or longitudinally extensive transverse myelitis may portend a higher relapse rate in neuromyelitis optica spectrum disorders [J]. AJNR Am J Neuroradiol, 2017, 38(5) : 949 – 953
- 17 Mehdipour - Dastjerdi R, Ashtari F, Shaygannejad V, et al. The pathologic and diagnostic in magnetic resonance imaging of brain and cervical spine of patients with neuromyelitis optica spectrum disorder [J]. Iran J Neurol, 2018, 17(2) : 58 – 63
- 18 Jarius S, Ruprecht K, Wildemann B, et al. Contrasting disease patterns in seropositive and seronegative neuromyelitis optica: a multicentre study of 175 patients [J]. J Neuroinflammation, 2012, 9(14) : 2 – 17
- 19 Kunchok A, Malpas C, Nytrova P, et al. Clinical and therapeutic predictors of disease outcomes in AQP4 - IgG + neuromyelitis optica spectrum disorder [J]. Mult Scler Relat Disord, 2020, 38 : 1 – 8

(收稿日期: 2022 - 04 - 14)

(修回日期: 2022 - 05 - 06)